

УДК 546.817'863'865:546.5

ISSN 1729-4428

П.М. Милян¹, О.О. Семрад², Ж.І. Милян¹, Г.В. Кун³

Термодинамічне дослідження системи Pb-Sb-O

¹НДІ фізики і хімії твердого тіла Ужгородського національного університету,
88000, Ужгород, вул. Підгірна, 46, тел.: (03122) 3-41-57, e-mail: pet-milyan@vandex.ru;

²Закарпатський угорський інститут ім. Ференца Ракоці II, 90200, Берегово, бульвар Іллеш Дьюли, 1;

³Ужгородський національний університет, 88000, Ужгород, вул. Підгірна, 46,

В даній роботі проведений термодинамічний аналіз процесу взаємодії оксидів PbO і Sb₂O₃. Прослідковуються значення енергії Гіббса з метою встановлення впливу температури та парціального тиску кисню на механізм протікання даної реакції в присутності O₂.

Ключові слова: енергія Гіббса, оксиди, тернарні сполуки, структура

Стаття поступила до редакції 20.05.2011; прийнята до друку 15.12.2011.

Вступ

Створення та одержання нових матеріалів з важливими функціональними параметрами є однією із основних задач фізики та хімії твердого тіла. Серед цих матеріалів ведучу роль відіграють оксидні політи монокристалічні матеріали з різними структурними типами.

Дослідженням фізико-хімічної взаємодії компонентів системи Pb-Sb-O займалась велика кількість наукових підрозділів [1-35]. Експериментальні результати окремих досліджень досить суперечливі. Це стосується залежності властивостей оксидних матеріалів від умов їх синтезу, дисперсного стану та впливу середовища.

В роботах [1,2] досліджувалась взаємодія PbO з оксидом стибію (III) в різних стехіометрических пропорціях. В результаті дослідження вдалося отримати сполуку Pb₂Sb₂O₇ із кубічною структурою, розрахувати період кристалічної гратки, який становив $a = 10,68 \text{ \AA}$, та густину $\rho = 8,40 \text{ г/см}^3$.

А. Магнелі [3] отримав метаантимонат свинцю PbSb₂O₆ нагріванням суміші карбонату свинцю і Sb₂O₃ при 723 К на протязі 50 год. та при 1023 К на протязі 100 год. Невеликі кристали PbSb₂O₆ були синтезовані при 1323 К на протязі 3 днів. Параметри тригональної комірки, пр. гр. Р312, становлять $a = 5,287$, $c = 5,364 \text{ \AA}$, елементарна комірка містить 1 формульну одиницю ($Z = 1$), $\rho_{\text{розр.}} = 7,29 \text{ г/см}^3$, $\rho_{\text{експ.}} = 6,92 \text{ г/см}^3$, $c/a = 1,015$, $V = 129,9 \text{ \AA}^3$. Структура побудована із (Sb₂O₆)²⁻ шарів, що містять з'єднані октаедри [SbO₆], між якими вставлені двохвалентні катіони пліомбуму. Для PbSb₂O₆ були знайдені координати атомів і розраховані міжатомні відстані, які становили: $d(\text{Pb-O}) = 2,52 \text{ \AA}$, $d(\text{Sb-O}) = 2,00 \text{ \AA}$ та

$$d(\text{O-O}) = 2,60 \text{ \AA}.$$

В роботі [4] нагріванням Sb₂O₃ при 773 К з оксидом цинку та ізоморфними йому оксидами вдалося отримати складні оксиди типу MSb₂O₄, де M = Pb, Mg, Zn, Mn, Fe, Co, Ni, та встановити належність їх структур до просторової групи P4/mbc.

Автори робіт [5-8] досліджували різні антимонати металів. Відпалом суміші 2PbCO₃ + Sb₂O₃ на повітрі при 1173 К протягом 20 год. отримано сполуку Pb₂Sb₂O₇ помаранчевого кольору, яка має ромбоедрично вироджену структуру пірохлору. Період кубічної кристалічної гратки становить $a = 10,38 \text{ \AA}$.

В роботі Уразова Г.Г. і Сперанскої Є.І. [9] досліджувалась взаємодія PbO із різними оксидами стибію. Отримати діаграми стану не вдалося із-за високих температур, високої в'язкості сплавів і взаємодії речовин з контейнером, але в роботі побудована фазова діаграма системи при 973 К. Показано, що при нагріванні в потоці азоту порошків PbO і Sb₂O₄ протікає реакція в твердій fazі з утворенням двох сполук: PbSb₂O₅ (1:1) жовтого кольору та Pb₃Sb₂O₇ (3:1) зеленого кольору. При взаємодії PbO і Sb₂O₃ в присутності повітря при 973 К були отримані сполуки PbSb₂O₆ (1:1) та Pb₃Sb₂O₈ + x (3:1), а в системі PbO-Sb₂O₅, де вихідними речовинами були Sb₂O₅·H₂O і PbO (суміш витримували при температурі 973 К до постійної маси), відмічено утворення трьох сполук: PbSb₂O₆ (1:1), Pb₃Sb₄O₁₃ (3:2), Pb₃Sb₂O₈ + x (3:1). Представлені фазові діаграми при 973 К для вивчених систем дають повну уяву про форми антимонатів, які можуть бути отримані безводним шляхом.

Фазові рівноваги в системі PbO-Sb₂O₃ досліджувались в [10,11]. На основі експериментальних даних і була побудована діаграма

стану цієї квазіподвійної системи.

Німецькі вчені [12,13] провели дослідження, які були направлені на пошук нових фаз в системі $PbO\cdot Sb_2O_5$ (знайдено дві фази $2PbO\cdot Sb_2O_5$ - піроантимонат та $PbO\cdot Sb_2O_5$ - метаантимонат плюмбуму) і $PbO\cdot Sb_2O_4$ (жодної фази не виявлено).

В роботі [14] показано, що в системі $PbO\cdot Sb_2O_4$ в присутності кисню повітря утворюється фаза змінного складу з хімічною формулою $Pb_3Sb_2O_{8,47}$, яка має кубічну гранецентровану гратку, пр.гр. $Fd\bar{3}m$, період гратки $a = 10,66 \text{ \AA}$.

Автори робіт [15-21] також вели пошук сполук в системі Pb-Sb-O. На розрізі $PbO\cdot Sb_2O_3$ була виявленна сполука $PbSb_2O_4$ (1:1) із тетрагональною структурою та періодами гратки $a = 8,41$ і $c = 6,04 \text{ \AA}$. В системі $PbO\cdot Sb_2O_4$ зафіксовано наявність трьох сполук: $3PbO\cdot Sb_2O_4$, $PbO\cdot Sb_2O_4$, $8PbO\cdot Sb_2O_4$. В системі $PbO\cdot Sb_2O_5$ в результаті хімічної взаємодії утворюються сполуки складу $3PbO\cdot Sb_2O_5$, $3PbO\cdot 2Sb_2O_5$ і $PbO\cdot Sb_2O_5$.

Діантимонат свинцю (ІІ) $Pb_2Sb_2O_7$ було синтезовано також в [22, 23]. В першій роботі продукт було отримано через проміжну фазу $PbSb_2O_6$, яка, в свою чергу, при 1173 K була синтезована з вихідних оксидів PbO і Sb_2O_3 . Потім згідно реакції $PbSb_2O_6 + PbO \rightarrow Pb_2Sb_2O_7$ при $T = 1223 - 1273 \text{ K}$ протягом 24 год. одержали бажаний результат. На відміну від [22], нагріванням гідратованої солі $PbAs\cdot 3H_2O$ із стибатною кислотою та послідуючою кальцинацією осаду при $523 - 1003 \text{ K}$ синтезовано сполуку $Pb_2Sb_2O_7$ [23], кубічна гратка якої має період $a = 10,529(2) \text{ \AA}$ (структурний тип пірохлору).

Автори [24] провели дослідження, які були направлені на пошук кубічної пірохлорної фази $Pb_2Sb_2O_7$. Вони використовували реакцію між PbO , PbO_2 , $Pb(CH_3COO)_2\cdot 3H_2O$ з Sb_2O_3 (в молярному співвідношенні сполуки свинцю до оксиду стибію 2:1). При 973 K отримана кубічна пірохлорна фаза разом з $PbSb_2O_6$. Ця фаза містить Pb (ІV) і має приблизний склад $Pb_2II[Pb_{0,5}IVSb_{1,5}V]O_{6,75}$ з періодом гратки $a = 10,66 - 10,69 \text{ \AA}$. Після нагрівання речовини до 1173 K формується ромбоедрична фаза $Pb_2Sb_2O_7$.

Система $PbO\cdot Sb_2O_3$ в присутності кисню повітря була досліджена в роботі [25]. За даними РФА та ТГА керамічних зразків побудована діаграма стану цієї системи. Встановлено утворення в системі проміжних сполук складу: $PbSb_2O_6$ (1:1), $Pb_3 + xSb_2O_8 + x$ (3:1) з областю гомогенності $23 - 30$ мол. % Sb_2O_3 , $Pb_4Sb_2O_9$ (4:1) і $Pb_6Sb_2O_{11}$ (6:1). Вирощені монокристали фаз $Pb_6Sb_2O_{11}$, $Pb_3 + xSb_2O_8 + x$ і Sb_2O_3 , на яких проведені рентгенографічні дослідження.

В роботі [26] було показано, що сполуки із загальною формулою $A_2B_2O_7$ можуть існувати в структурі типу пірохлору та вебериту. Отримана емпірична формула

$$a = (209,5RA-3 + 589,7RB-3 + 688,0)1/3,$$

яка дозволяє обчислювати параметр елементарної комірки пірохлорних фаз складу $A_2B_2O_7$ по значеннях радіусів катіонів.

Автори робіт [27, 28] отримали монокристали $Pb_2Sb_2O_7$ із структурою вебериту, дослідили його полярні властивості. Сукупність результатів термічних, діелектричних, піроелектричних і нелінійно-оптических вимірювань свідчать про наявність зворотнього фазового переходу першого роду між полярною і неполярною фазою при 510 K .

В роботі [29] досліджувалась структура $PbSb_2O_6$ та її зв'язок з кристалохімією PbO_2 у стибій-свинцевих кислотних акумуляторах. Проведено нейтронографічне уточнення структури $PbSb_2O_6$. Параметри тригональної комірки $a = 5,3006$, $c = 5,3792 \text{ \AA}$, $Z = 1$, $\rho_{\text{розр.}} = 6,936 \text{ г/см}^3$, пр.гр. P31m (P312).

Результати комплексного дослідження монокристалів $Pb_2Sb_2O_7$ приведені в роботах [28, 30]. Ромбічна об'ємноцентрована комірка, пр.гр. Ima2, характеризується параметрами: $a = 7,484(1)$, $b = 7,857(1)$, $c = 10,426(1) \text{ \AA}$, $Z = 4$.

Автори робіт [31, 32] показали, що структура $Pb_2Sb_2O_7$ складається із катіонних мотивів, в яких атоми Sb октаедрично координовані, в той час як Pb^{2+} катіони мають к.ч. = 8 і розташовані в тетрагональних призмах і гексагональних біпірамідах. Підкреслюється важлива роль ефективного розміру катіону Pb^{2+} та вплив неподільної пари електронів Pb^{2+} в процесі полярних видозмін структури.

Автори [33-35] провели систематичне дослідження тернарної системи Pb-Sb-O. В результаті були побудовані діаграми стану систем $PbO\cdot SbxOy$, розроблені способи одержання двох поліморфних модифікацій $Pb_2Sb_2O_7$ (структурні типи пірохлору та вебериту), розроблено методику аналізу хімічного складу сплавів та сполук тернарної системи Pb-Sb-O.

I. Методика експерименту

Вихідні бінарні оксиди PbO та Sb_2O_3 в необхідних стехіометрических співвідношеннях переміщували в агатовій ступці за допомогою пестика, завантажували в алундовий тигель та нагрівали. Синтез проводили в атмосфері кисню повітря.

Рентгенівський фазовий аналіз проводили на рентгенівському дифрактометрі ДРОН-3 в $Cu K_{\alpha}$ -випроміненні з використанням нікелевого фільтру методом порошку [36,37]. Реєструючим пристроєм був лічильник CPP-4. В якості вимірювально-реєструючої частини використовували напівпровідникові електронно-обчислювальні пристрої ПР-ММ та самописець КСП-4.

II. Результати експерименту та їх обговорення

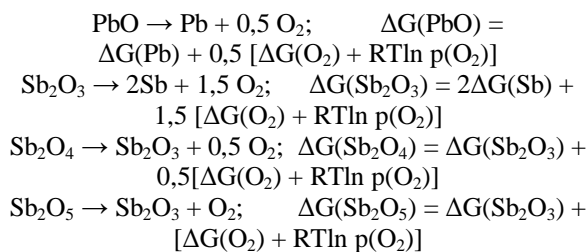
Як видно із результатів літературних даних різних дослідників кисень повітря в більшій мірі

Таблиця
Функції $\lg p(O_2) = f(1/T)$ для вихідних речовин

PbO	- 19778,06/T
Sb ₂ O ₃ (Sb ₄ O ₆)	- 21818,92/T
Sb ₂ O ₄	- 17844,338/T
Sb ₂ O ₅	- 7202,2/T

впливає на хімічний склад одержаних продуктів реакції взаємодії оксидів Pb та Sb. Виходячи з цього факту, нам предсталоилось доцільно провести термодинамічний аналіз вищевказаного процесу із прослідковуванням значень енергії Гіббса (ΔG) з метою встановлення: як впливають температура та парціальний тиск кисню на механізм протікання взаємодії PbO і Sb₂O₃ в присутності кисню, в рівній степені, як і на хімічний склад утворених продуктів.

Для проведення термодинамічного аналізу виразили температурну залежність енергії Гіббса для усіх приймаючих участь в реакціях оксидів, які приведені нижче:



Отримані результати для усіх вихідних речовин реакцій демонструємо функціями $\lg p(O_2) = f(1/T)$ та приводимо в табл. 1 на рис. 1.

Останній рисунок ілюструє, як змінюються фазові рівноваги системи Pb-Sb-O від температурної залежності парціального тиску в області температур 300 - 2000 К. Найменший нами досліджуваний парціальний тиск кисню відповідає рівновазі PbO + Sb₄O₆, за ним слідує Pb+Sb₄O₆, далі PbO + Sb, потім PbO+Sb₂O₄, і, нарешті, PbO+Sb₂O₅. В цих областях фазових рівноваг різна ймовірність утворення складних сполук PbSb₂O₄, PbSb₂O₅, PbSb₂O₆, Pb₂Sb₂O₇, Pb₃Sb₂O₇. Утворення вказаних сполук ілюструє концентраційний трикутник системи

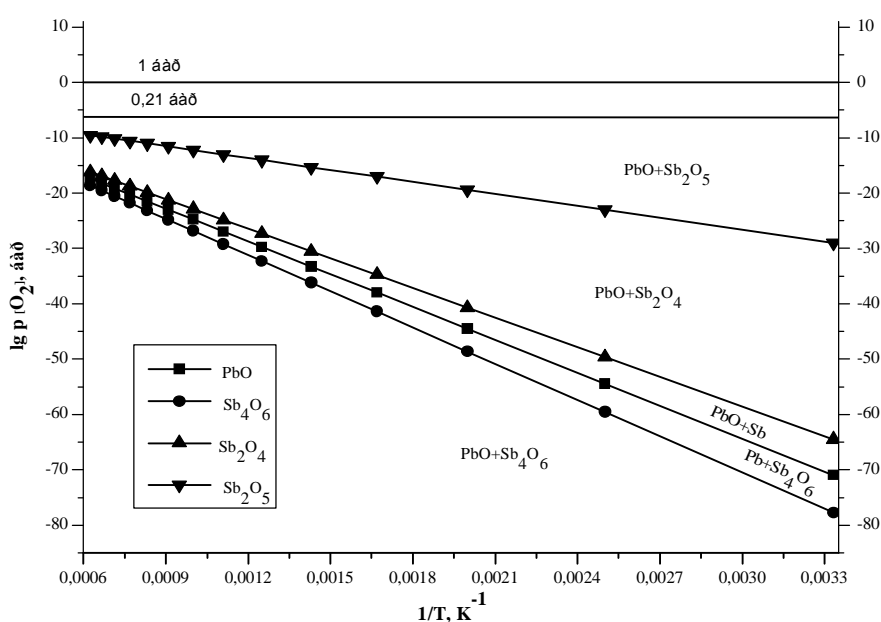


Рис. 1. Функції $\lg p(O_2) = f(1/T)$ для потенційних вихідних речовин демонстраційних реакцій.

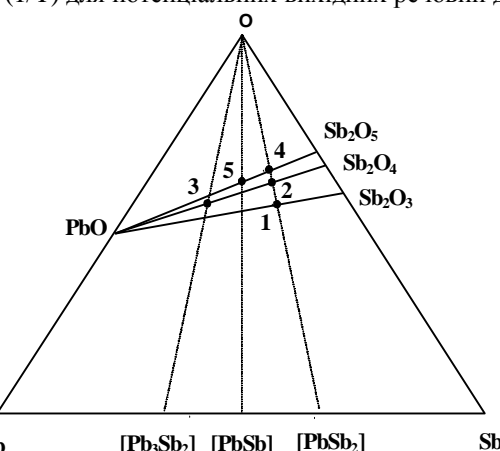
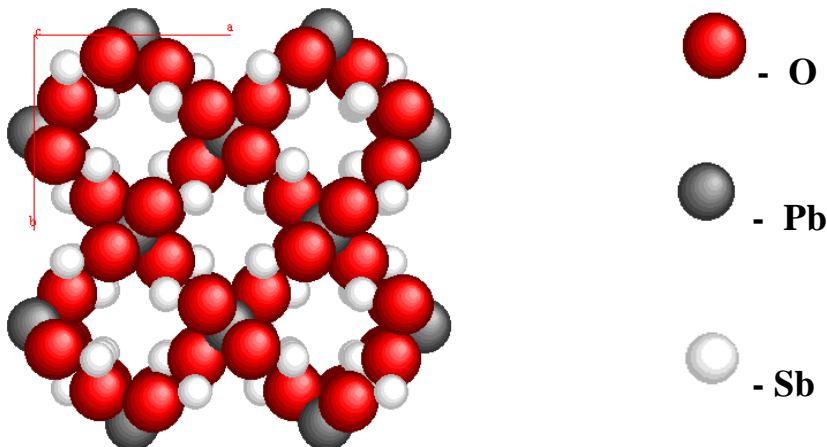


Рис. 2. Концентраційний трикутник системи Pb-Sb-O: 1 – PbSb₂O₄, 2 – PbSb₂O₅, 3 – Pb₃Sb₂O₇, 4 – PbSb₂O₆, 5 – Pb₂Sb₂O₇

Рис. 3. Проекція структури PbSb_2O_4 на площину XY.

Pb-Sb-O (рис. 2).

Нами проведено дослідження розрізу $\text{PbO}-\text{Sb}_2\text{O}_3$ потрійної системи Pb-Sb-O (рис. 2). Експерименти заключались в нагріванні суміші PbO та Sb_2O_3 на повітрі. В результаті наших досліджень було встановлено утворення тернарної сполуки PbSb_2O_4 , яка кристалізується в тетрагональній структурі, пр. гр. P42/mbc, з параметрами кристалічної гратки $a = 8,429(7)$; $c = 6,030(7)$ Å. На основі структурних параметрів побудована структурна модель сполуки PbSb_2O_4 , що зображена на рис. 3.

В основі структури лежать координаційні октаедри $[\text{PbO}_6]$, що з'єднуються спільними ребрами, утворюючи нескінчені ланцюги PbO_4 , між якими затиснуті атоми Sb.

Утворений продукт реакції – складний оксид PbSb_2O_4 , представляє собою білий порошок з жовтуватим відтінком, практично нерозчинний у H_2O , CH_3COOH , розбавленій HNO_3 , $\text{C}_2\text{H}_5\text{OH}$, C_6H_6 , $\text{C}_6\text{H}_5\text{CH}_3$, CCl_4 . Ця тернарна фаза характеризується конгруентним характером плавлення при 1653 К.

- [1] H. Leroux. Metall. erz. 21(18), 421 (1924).
- [2] M. Baccareda. Gazz. chim. ital. 66(3), 539 (1936).
- [3] A. Magneli. Ark. Kemi. Min. Geol. 15B(3), 1 (1941).
- [4] S. Stahl. Arkiv. Kemi. Min. Geol. 17B(5), 1 (1943).
- [5] A. Byström. Ark. Kemi. 18A(21), 1 (1944).
- [6] F. Jona, G. Shirane, R. Pepinsky. Phys. Rev. 98(4), 903 (1955).
- [7] E. Pelzel. Erzmetall. 9(1), 17 (1956).
- [8] W. Coffeen. J. Amer. Ceram. Soc. 39(4), 154 (1956).
- [9] G.G. Urazov, E.I. Speranskaja. ZhNH 1(6), 1418 (1956).
- [10] H. Hennig, E.I. Kohlmeyer. Z. erz. metall. 10(1), 8 (1957).
- [11] E. Pelzel. Erzmetall. 11(2), 56 (1958).
- [12] H. Hennig, E.I. Kohlmeyer. Z. erz. metall. 10(2), 64 (1957).
- [13] E. Pelzel. Metall. 12(2), 122 (1958).
- [14] V.G. Kuznecov, P.A. Koz'min. ZhNH 3(10), 2361 (1958).
- [15] H.H. Hartmann, W. Hofmann, W. Stahl. Erzmetall. 11(4), 151 (1958).
- [16] E. Pelzel. Z. erz. metall. 12(11), 558 (1959).
- [17] K. Heinrich, F. Pawlek, K. Plieth. Erzmetall. 14(10), 520 (1961).
- [18] G. Friedrich, R. Marx. Erzmetall. 15(2), 72 (1962).
- [19] T. Gerlach, G. Herrmann. Z. erz. metall. 15(3), 132 (1962).
- [20] A.D. Zunkel, A.H. Larson. Trans. Met. Soc. AIME. 239, 473 (1967).
- [21] T. Gerlach, U. Hennig, R. Kurz, F. Pawlek. Metall. 22(1), 15 (1968).
- [22] J.-Y. Moisan, J. Pannetier, J. Lucas. C. R. Acad. Sci. C. 271(6), 403 (1970).
- [23] F. Brisse, D.I. Stewart, V. Seidl, O. Knop. J. Chem. 50(22), 3648 (1972).
- [24] G. Burchard, W. Rudorff. Z. anorg. allg. chem. 447(1), 149 (1978).
- [25] A.A. Bush, Ju.N. Venevcev. ZhNH. 23(8), 2195 (1978).
- [26] S.S. Lopatin. Fazovye ravnovesija v fragmentah chetvernyh oksidnyh sistem AO-A₂O₃-VO₂-V₂O₅ i issledovanie nekotoryh svojstv obnaruzhennyh soedinenij (A-Pb, Ca, Sr, Ba; A'-Al, Ga, Fe; B-Ti, Zr, Hf, Sn; B'-Nb, Ta, Sb). Diss. kand. him. Nauk (Rostov-na-Donu, 1983).
- [27] A.V. Astaf'ev, A.A. Bush, S.Ju. Stefanovich, Ju.N. Venevcev. Izv. AN SSSR. Neorgan. mater. 21(4), 645 (1985).

- [28] S.A. Ivanov, V.E. Zavodnik. Kristallogr. 35(4), 842 (1990).
- [29] R. Hill. J. Solid State Chem. 71(1), 12 (1987).
- [30] S.A. Ivanov, A.A. Bush, V.M. Lebedev, V.E. Zavodnik. Rentgendifrakcionnoe issledovanie osobennostej atomnogo stroenija i haraktera fazovogo perehoda v antimonate svinca Pb₂Sb₂O₇. Precizion. struktur. issled. kristallov. Difrakc. metody mat. obrabot. i rezul't.: 2 Vses. soveshh., Jurmala, 13-15 fevralja 1990 g., Riga. S. 48 (1990).
- [31] S.A. Ivanov, A.A. Bush, V.M. Lebedev, V.E. Zavodnik. Acta Crystallogr.A. 46, 341 (1990).
- [32] S.A. Ivanov. 6-e Soveshh. po kristallohimii neorgan. i koordinac. soed. (L'vov, 1992).
- [33] P. Milyan, O. Semrad. Journal of Inorganic Chemistry. 50(10), 1599 (2005).
- [34] P. Milyan, O. Semrad. Journal of Ovonic Research. 2(3), 31 (2006).
- [35] Péter Milyán, Emil Szemrád. XV. Évi Közgyűléssel Egybekötött Tudományos Ülésének közleményei (Nyíregyháza (Hungary), 2006).
- [36] Ja.S. Umanskij. Rentgenografija metallov i poluprovodnikov (Metallurgija, Moskva, 1969).
- [37] G. Lipson, G. Stipl. Interpretacija poroshkovych rentgenogramm. Per. s angl. (Mir, Moskva, 1972).

P.M. Milyan, E.E. Semrad, Zh.I. Milyan, G.V. Kun

Thermodynamic Investigation of the Pb-Sb-O System

In present work the thermodynamic analysis of process of interaction of PbO i Sb₂O₃ is carried out. The values of Gibbs energy were calculated in order to establish the dependence of mechanism of this reaction in atmosphere of O² on temperature and partial pressure of oxygen.

Keywords: Gibbs energy, oxides, ternary compounds, structure.